

文章编号 :1000-4734(2001)03-0443-05

高岭土的化学成分与表面电性研究

刘晓文 胡岳华 黄圣生 邱冠周

(中南大学 矿物工程系 湖南 长沙 410083)

摘要 在前人工作的基础之上,研究了高岭土中高岭石的晶体结构、化学成分与表面电性之间的关系。硬质和软质高岭土具有相近的表面零电点(pzc)值,几种硬质高岭土的 pzc 值的变化范围为2.6~3.8。 pzc 值与其中的 SiO_2 的重量百分含量呈正相关,与 Al_2O_3 的呈负相关。高岭石的结晶度指数(CI)并不是决定高岭石 pzc 值的主要因数。在较宽的pH值范围,硬质高岭土比软质高岭土的电位低。在高岭石晶体端面上的等电点(pH 7.3±)处,高岭土表面的Zeta电位与T Fe的重量百分含量呈负相关性,与高岭石的结晶度指数(CI)呈正相关。

关键词 高岭土,高岭石,表面电性,晶体化学

中图分类号: O647; P578.964

文献标识码:A

作者简介 刘晓文 男,1966年生,在职博士,主要从事矿物材料检测和工艺矿物学研究.

1 前言

当高岭石晶体断裂时,主要产生两类性质不同的晶面(001)晶面、(110)和(010)晶面。(001)晶面为晶体的底面,(110)和(010)晶面为晶体的端面。高岭石根据化学组成和晶体结构特点,在高岭石晶胞中存在着 Al^{3+} 替代 Si^{4+} 和 Fe^{2+} , Mg^{2+} 替代 Fe^{3+} 、 Al^{3+} 的类质同象现象,因此在(001)晶面上必然会产生少量的永久负电荷。这种负电荷的数量决定于晶格中离子置换的数量。

高岭石晶体的端面通过表面组分的选择性解离而带电。这种电荷为可变电荷,其数量随介质的pH值而变化。据报导,Newman^[1]根据粘土矿物晶体结构认为粘土矿物晶体端面上的零电点为pH 7±,Rand 和 Melton^[2]在NaCl稀电解质溶液中得出高岭石晶体端面上的等电点为pH 7.3±0.2,Wieland 和 Stumm^[3]实验观测得出高岭石晶体的端面零净电荷点(the point of zero net proton charge,简称PZNPC)在pH=7~8之间变化,Williams 计算得出高岭石晶体的端面零净电荷点PZNPC=7.3。粘土颗粒上的净电荷为粘土颗粒上正电荷和负电荷(包括永久的和可变的电荷)的代数和。显然从上面的分析可知负电荷一般多于

正电荷,所以除了在较强酸性条件下能出现少量净正电荷,一般高岭石晶体皆带有净负电荷^[3,4]。

矿物表面上,离子的优先溶解、吸附及解离,使表面荷电,为了保持电中性,又吸附了反号离子,构成了固/液界面双电层;当带电的矿物颗粒在电场中移动时,矿物表面的Zeta电位(表面热力学电位)为矿物表面与溶液之间的总电位差^[5]。这是矿物最重要的表面性质之一。在铝土矿浮选研究中,硬质高岭土与软质高岭土的浮选行为存在很大的差异,我们从这些不同高岭石晶体的结晶指数和晶体化学方面的区别,研究了其与表面电性的关系,使铝土矿浮选和高岭土浮选的理论体系得到一定的充实。

2 研究方法

实验样品 软质高岭土样品采自湖南汨罗,硬质高岭土样品分别采自河南郏县、大峪沟、渑池等地,其中河南渑池的硬质高岭土位于未矿化的铝土矿层位上。

实验试剂 氢氧化钠、盐酸均为分析纯试剂,实验用水为蒸馏水。

实验方法 在日本岛津X射线衍射仪上进行高岭石的结晶度计算;在美国Brookhaven仪器公司生产的Zeta Plus Zeta电位仪上进行 ζ -电位测试,溶液的pH值分别由稀盐酸和稀氢氧化钠溶液调配而成。

3 试验结果

3.1 高岭土的 X 射线衍射结果

3.1.1 高岭石晶体结构的有序度

由于高岭石产出的地质条件不同,其晶体结构的有序度亦可不同。影响有序度的因素较多,

主要有层堆垛无序、阳离子分配无序、非平面层结构、机械无序等等。目前高岭石的有序度较为广泛采用的方法是利用 Hinckley(1963)方法来测定高岭石的结晶指数^[6],并普遍认为结晶度大于0.9时表明高岭石是有序的^[7]。本文对不同产地的高岭土进行X射线衍射分析,并利用 Hinckley(1963)方法测定了高岭石的结晶度指数(表1)。

表1 两种高岭土中高岭石的结晶度指数

Table 1. The crystallinity index of kaolinite in the two kind of kaolins

样号	产地	名称	物相组成	结晶度指数	备注
Ka-ML02	湖南汨罗	软质高岭土	高岭石 极少量的白云母和石英	1.00	风化-残积型
Ka-JX	河南郏县	硬质高岭土	高岭石 极少量的石英	0.77	含煤地层中
Ka-DYG	河南大峪沟	硬质高岭土	高岭石(80%),伊利石(15%)	0.74	含煤地层中
Ka-MC	河南渑池	硬质高岭土	高岭石(85%),伊利石(10%)	0.82	与铝土矿同一层位

Hinckley(1961)在确定佐治亚州软质高岭土与硬质高岭土之间的基本差别时,认为软质高岭土指主要由高岭石矿物组成的松散集合体,用手摸上去有柔软、疏松之感觉;硬质高岭土指主要由高岭石矿物组成的坚硬岩石,在破碎后为贝壳状断口、而且放在拇指和食指间很难碾碎^[8]。因此,认为湖南汨罗的样品为软质高岭土,而其他三个样品为硬质高岭土。

由表1可知,软质高岭土中的高岭石的结晶度指数较硬质高岭土中的高,表明软质高岭土中的高岭石的结晶程度要较硬质高岭土中的好。

3.1.2 高岭土的物相组成

由X射线衍射物相分析和显微镜下观察结果(表1)可知,河南大峪沟和渑池两个高岭土样品中含有伊利石,在湖南汨罗和河南郏县两个高岭土样品中可能含有极少量的石英。

3.2 高岭土的化学成分

对试验用的高岭土进行了化学全分析,结果如表2所示。结合物相分析,高岭土样品中的钛来自锐钛矿杂质矿物中;铁不仅可能存在于高岭石的晶格中,而且可能存在于其他含铁矿物的晶格或胶体物质中;钾和钠主要来自白云母和伊利石。

表2 高岭土样品的化学全分析结果(%)

Table 2. The compositions of the kaolin samples(%)

样号	名称	SiO ₂	Al ₂ O ₃	MgO	CaO	TFe	TiO ₂	K ₂ O	Na ₂ O	水分	烧失量
Ka-ML	软质高岭土	44.73	38.16	0.023	0.059	0.11	0.05	0.15	0.056	0.531	4.55
Ka-JX	硬质高岭土	44.22	37.66	0.093	0.074	0.54	0.22	0.064	0.049	1.19	14.79
Ka-MC	硬质高岭土	41.41	38.35	0.33	0.098	0.39	1.68	0.83	0.094	1.08	13.52
Ka-DYG	硬质高岭土	47.03	37.20	0.071	0.110	0.67	0.69	1.03	0.2	0.43	12.31

3.3 高岭土的 pH-Zeta 电位图

在不同的pH值条件下,测量了这两种高岭土的Zeta电位值,结果如图1所示。

从图1和表3中可以看出:硬质和软质高岭土表面Zeta电位随pH值的变化规律基本相同,具有相近的表面零电点(pzc)值。几种硬质高岭土的pzc值的变化范围为2.6~3.8。在较宽的pH值范围,硬质高岭土比软质高岭土的电位低。

表3 不同高岭土的表面零电点(pzc)值

Table 3. The surface point of zero charge(pzc) of the different kaolins

Ka-ML	Ka-JX	Ka-MC	Ka-DYG
3.34	3.62	3.78	2.82

4 分析与讨论

4.1 高岭土的化学成分与表面电性

在相同的条件下,几种高岭土的Zeta电位不

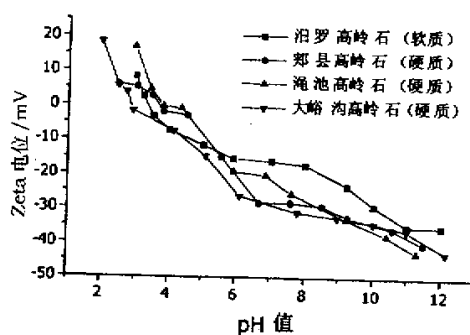


图1 不同高岭土的 pH-Zeta 电位图
Fig. 1. Zeta potentials of different kaolins as a function of pH.

同,主要是因为 Zeta 电位取决于溶液的 pH 值、高岭土的矿物物相组成、矿物的晶体缺陷、化学成分以及晶体形状等因素。

由图 2 可以看出:高岭土的 pzc 值分别与 SiO_2 重量百分含量呈负相关性,相关系数 R 为 -0.93 而 pzc 值与 Al_2O_3 的重量百分含量呈正相关性,相关系数 R 为 0.77 。

高岭石晶体端面上的等电点为 $\text{pH}=7.3 \pm 0.2$,因此,在 pH 值为 $7.3 \pm$ 时,高岭土表面的 Zeta 电位则可能主要由高岭石(001)底面与溶液之间的总电位差。由图 3 可以看出,在 pH 值为 $7.3 \pm$ 时,高岭土表面的 Zeta 电位与 T Fe 的重量百分含量呈负相关性,相关系数 $R=-0.99$,而 Zeta 电位与 Al_2O_3 的重量百分含量呈正相关性,相关

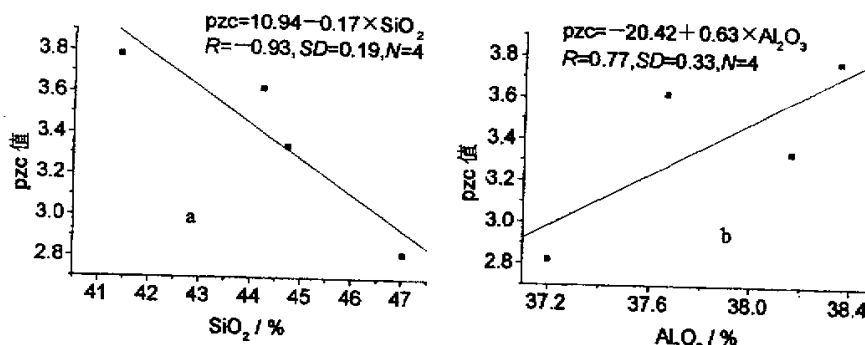


图2 不同高岭土的表面零电点(pzc 值)与化学成分的关系图
Fig. 2. Plots of the surface point of zero charge(pzc) vs. chemical composition of different kaolins.

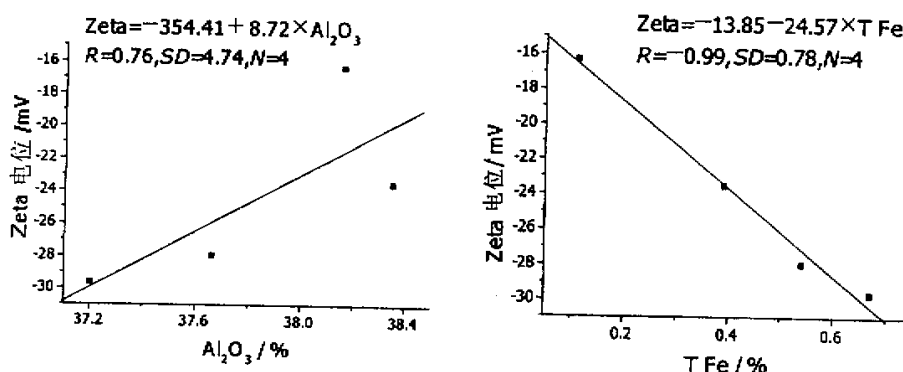


图3 不同高岭土的 Zeta 电位($\text{pH}=7.3$)与化学成分的关系图
Fig. 3. Plots of the zeta potential($\text{pH}=7.3$) vs. chemical composition of different kaolins.

系数 $R = 0.17$, 这表明, 铁离子易于电离而被释放到溶液中, 而且在高岭土中可交换的或可溶解的铁离子愈多, 则高岭土表面的负 Zeta 电位亦愈高。

4.2 高岭石的结晶指数(CI)与表面电性

由图 4 可以看出: 高岭石的结晶度与高岭土的表面零电点(pzc 值)之间并没有很大的相关性, 相关系数 $R = 0.17$ 。这表明高岭石的结晶度

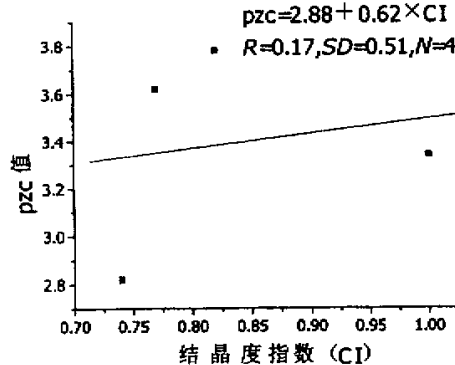


图 4 高岭石的结晶指数(CI)与表面零电点(pzc 值)的关系图

Fig. 4. Plots of the crystallinity index of kaolinites vs. the surface point of zero charge(pzc) of different kaolins.

5 结 论

硬质和软质高岭土具有相近的表面零电点(pzc)值, 几种硬质高岭土的 pzc 值的变化范围为 2.6~3.8。 pzc 值与其中的 SiO_2 的重量百分含量呈正相关, 与 Al_2O_3 的重量百分含量呈负相关, 而高岭石的结晶度指数(CI)并不是决定高岭石 pzc

并不是决定高岭土表面零电点(pzc 值)的主要因素。

由图 5 可以看出: 在 pH 值为 7.3 时, 高岭土的表面 Zeta 电位值与高岭石的结晶指数(CI)呈正相关性, 且相关系数 $R = 0.99$ 。由于高岭石晶体端面上的等电点为 $\text{pH } 7.3 \pm 0.2$, 这表明在 pH 值为 7.3 时, 高岭石晶体的结晶度愈大, 则在(001)晶面与溶液之间总电位差(负电位)的绝对值亦就愈小。

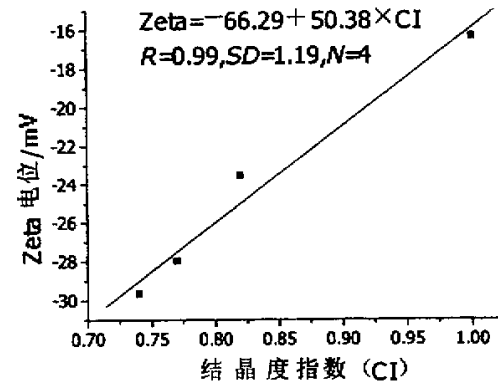


图 5 高岭石的结晶指数(CI)与 Zeta 电位(pH=7.3)的关系图

Fig. 5. Plots of the crystallinity index of kaolinites vs. the zeta potential(pH=7.3) of different kaolins.

值的主要因素。在较宽的 pH 值范围, 硬质高岭土比软质高岭土的电位低。在高岭石晶体端面上的等电点(pH $7.3 \pm$)处, 高岭土表面的 Zeta 电位与 T Fe 的重量百分含量呈负相关性, 与高岭石的结晶度指数(CI)呈正相关。这与矿物表面离子在水中与极性水分子相互作用, 发生优先溶解、电离、吸附或交换等有关问题有待于进一步深入研究。

参 考 文 献

- [1] Newman A C D. *Chemistry of Clays and Clay Minerals* [M]. London : Longman Group UK Limited , 1987. 208.
- [2] Rand B and Melton I E. Particle interactions in aqueous kaolinite suspensions [J]. *Journal of Colloid and Interface Science* , 1977 , 60(2): 308~320.
- [3] Wieland E and Stumm W. Dissolution kinetics of kaolinite in acidic aqueous Solutions [J]. *Geochimica et Cosmochimica Acta* , 1992 , 56 : 3339~3355.
- [4] Brady P V , Cygan R T and Nagy K L. Molecular controls on kaolinite surface charge [J]. *Journal of Colloid and Interface Science* , 1996 , 183 : 356~364.
- [5] 王淀佐, 胡岳华. 浮选溶液化学 [M]. 长沙: 中南工业大学出版社, 1988. 209~215.
- [6] 张振儒. 近代岩矿测试新技术 [M]. 长沙: 中南工业大学出版社, 1987. 12~14.

[7] 马兰芳. 高岭土的粘度及其改进[J]. 非金属矿, 2000, 23(5):16~18.

[8] Weaver C E and Pollard L I(著)张德玉(译). 粘土矿物化学[M]. 北京 地质出版社, 1983. 92~101.

CHEMICAL COMPOSITION AND SURFACE PROPERTY OF KAOLINS

Liu Xiaowen Hu Yuehua Huang Shengsheng Qiu Guanzhou
(Department of Mineral Engineering , Central-South University , Changsha 410083)

Abstract : The crystal structure, crystal chemistry and surface property of kaolinite in kaolin clays have been studied. The surface Zeta potentials variation of hard kaolins as a function of pH is almost the same as that of the soft kaolin. The surface point of zero charge (pzc) of different kaolins is almost the same. The pzc of the hard kaolins varies from 2.5 to 3.8. SiO₂ (wt %) of several kaolins showed a positive correlation with pzc, but Al₂O₃ (wt %) showed a negative correlation with pzc. The crystallinity index of kaolinites is not a major factor determining pzc. In the broad range of pH, the negative potential of hard kaolin is lower than that of soft kaolin. At the Isoelectric Point (IEP) (pH = 7.3 ±) of edge of the kaolinites, TFe (wt %) showed a negative correlation with the surface Zeta potential of the kaolins, but the crystallinity index of kaolinites showed a positive correlation with it.

Key words : kaolin ; kaolinite ; surface property ; crystal chemistry

高岭土的化学成分与表面电性研究

作者: 刘晓文, 胡岳华, 黄圣生, 邱冠周
作者单位: 中南大学矿物工程系(湖南长沙)

本文读者也读过(10条)

1. 褚连青. 王金钢. 王奕 FAAS法测定高岭土中的Fe、Na、Ca、Mg[会议论文]-1999
2. 张利云. 宋勇平. 苏咏 电泳涂料用煅烧高岭土的开发与应用[会议论文]-2007
3. 杨久义. 杨会龙. 刘艳春. 郭子成. YANG Jiu-yi. YANG Hui-long. LIU Yan-chun. GUO Zi-cheng 用高岭土酸解残渣制备层硅酸钠[期刊论文]-矿产综合利用2006(5)
4. 周积隆 纸张涂布高岭土的新秀——抛光高岭土[会议论文]-1998
5. 朱粉利. 曾伟能. 王勤燕. 周汉文 广东茂名高岭土煅烧实验研究[期刊论文]-矿产与地质2004, 18(2)
6. 姜磊. 王学群. 雷东升. 张韬 高钛含量煤系高岭土除钛新工艺的探索[期刊论文]-矿产保护与利用2010(5)
7. 王锦成. 陈月辉. 王继虎 新型硬质高岭土在橡胶中的补强机理研究[会议论文]-
8. 张燕. 李凯琦. ZHANG Yan. LI Kai-qi 茂名水洗高岭土降粘技术研究[期刊论文]-河南理工大学学报（自然科学版） 2006, 25(1)
9. 袁树来. 高峰. 侯立民. 刘彬 煤系高岭土煅烧技术和设备的研究与设计[会议论文]-2001
10. 蔡宏伟. 王勤华. 柳振作. CAI Hong-wei. WANG Qin-hua. LIU Zhen-zuo 微波消解光度法测定高岭土中的铁含量[期刊论文]-陕西科技大学学报（自然科学版） 2006, 24(2)

引用本文格式: 刘晓文. 胡岳华. 黄圣生. 邱冠周 高岭土的化学成分与表面电性研究[会议论文] 2001